

Trabajo de fin de grado: Movimiento de asteroides en las Zanjass de Kirkwood

Universidad Autónoma de Madrid
Roberto Mazo Fernández



Resumen

- Diseñado un método para caracterizar anchura de las Zanjás
- Simulación movimiento asteroides con Python
- Comparación métodos integración numérica
- Influencia de Marte y Saturno

¿Qué son y como se producen las Zanjas de Kirkwood?

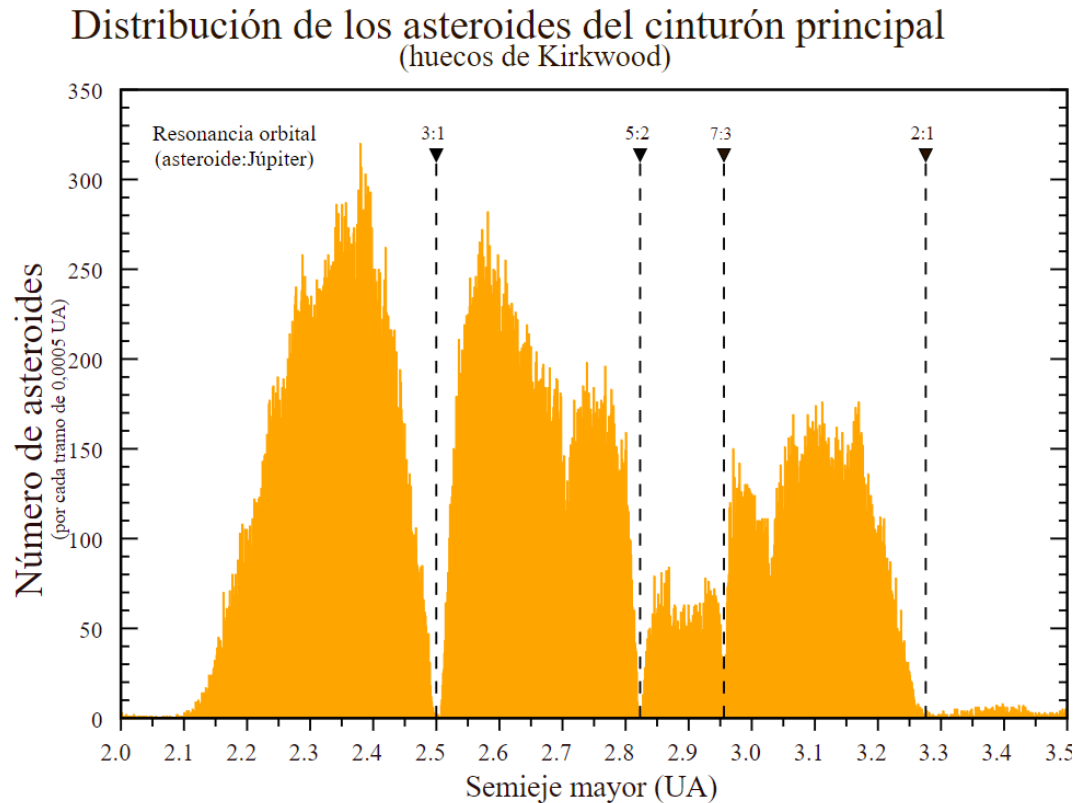
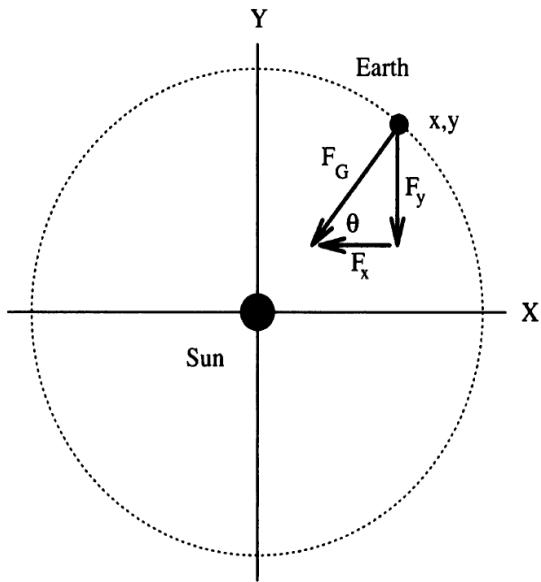


Figura 1: Numero de asteroides en función de la distancia al Sol.

Se **cree** que la acumulación de impulsos que Júpiter tiene sobre el asteroide
→ Régimen caótico tal que cualquier mínima perturbación → Expulsa de la orbita [1]

[1] Moons, M. Review of the dynamics in the Kirkwood gaps. *Celestial Mechanics and Dynamical Astronomy*, 1996.

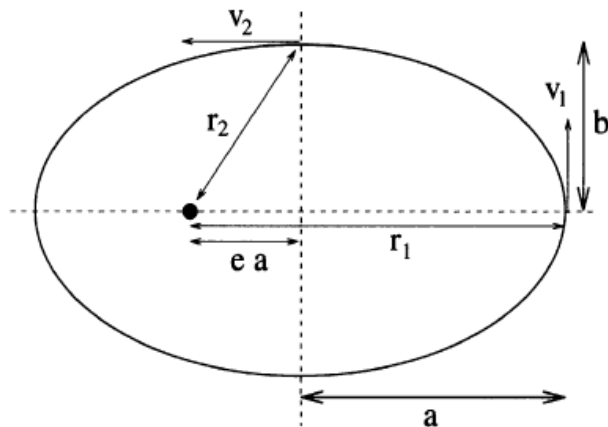
Problema de dos cuerpos



$$F_{Gx} = -\frac{G \cdot M_S \cdot M_T}{r_{ST}^2} \cdot \cos(\theta) = -\frac{G \cdot M_S \cdot M_T}{r_{ST}^3} \cdot x$$

$$F_{Gy} = -\frac{G \cdot M_S \cdot M_T}{r_{ST}^2} \cdot \sin(\theta) = -\frac{G \cdot M_S \cdot M_T}{r_{ST}^3} \cdot y$$

Bajo la acción de fuerza conservativa → Conservación de la energía mecánica y momento angular



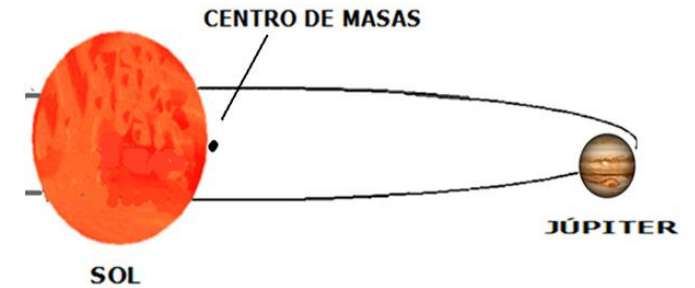
Unidades → Tiempo : Años Distancia : Unidades Astronómicas

$$F_{\text{centrípeta}} = F_{\text{gravitatoria}}$$

$$G \cdot M_s = v^2 \cdot r = 4 \pi^2 \text{ AU}^3 / \text{año}^2$$

Problema de tres cuerpos

- Aproximaciones:
 - El Sol debido a su masa permanecerá quieto
 - La fuerza que ejerce el asteroide sobre Júpiter es despreciable



$$\begin{aligned} \bullet F_{Gx} &= -\frac{G \cdot M_S \cdot M_a}{r_{aS}^2} \cdot x - \frac{G \cdot M_J \cdot M_a}{r_{aJ}^3} \cdot (x_a - x_J) \\ \bullet F_{Gy} &= -\frac{G \cdot M_S \cdot M_a}{r_{aS}^2} \cdot y - \frac{G \cdot M_J \cdot M_a}{r_{aJ}^3} \cdot (y_a - y_J) \end{aligned}$$

$$GM_J = GM_S \frac{M_J}{M_S} = 4 \pi^2 \frac{M_J}{M_S} \text{ UA}^3 / \text{año}^2$$

Métodos de integración numérica: Euler, Euler-Cromer, Velocidad Verlet y Runge-Kutta 4

- Ecuaciones a resolver: $m \frac{d^2x}{dt^2} = -\frac{GMm}{r^3} x$ $m \frac{d^2y}{dt^2} = -\frac{GMm}{r^3} y$
- Transformamos en: $\frac{dx}{dt} = f(t, v)$ $\frac{dv}{dt} = g(t, x)$

Análogo para y

```
Funcion que nos vale para calcular la posicion y la velocidad de un objeto acelerado en funcion del tiempo. Metodo de Verlet
Input:
    a=      aceleracion que sufre el cuerpo
    r0=     vector que contenga posicion inicial
    v0=     vector que contenga la velocidad inicial
    dt=     paso de tiempo
    tend=   tiempo final

Output:
    x_vector, y_vector, z_vector =  Vectores que contienen las posiciones del cuerpo en funcion del tiempo
    vx_vector, vy_vector, vz_vector = Vectores que contienen las velocidades del cuerpo en funcion del tiempo
    t_vector =                      Vector que contiene los tiempos

Ejemplo de funcion aceleracion
def a(x,y,z):
    ax= -G*M*x/(x**2+y**2+z**2)**(3/2)
    ay= -G*M*y/(x**2+y**2+z**2)**(3/2)
    az= -G*M*z/(x**2+y**2+z**2)**(3/2)
    return [ax,ay,az]
```

Euler :

- Aproximación Taylor orden 1: $x(t + \Delta t) = x(t) + \frac{\partial x}{\partial t} \Delta t + \dots$

$$x_{n+1} = x_n + f(t_n, v_n) \Delta t \quad v_{n+1} = v_n + g(t_n, x_n) \Delta t$$

Malo en movimientos cíclicos → Aumenta la energía con los ciclos

Euler-Cromer:

- Mejora el método de Euler para movimientos cíclicos

$$v_{n+1} = v_n + g(t_n, x_n) \Delta t \quad x_{n+1} = x_n + f(t_n, v_{n+1}) \Delta t$$

Velocidad Verlet:

- Mejora el método de Verlet ya que podemos calcular velocidad

$$x_{n+1} = x_n + v_{n+1} \Delta t + \frac{1}{2} a_n \Delta t^2 \quad v_{n+1} = v_n + \frac{a_n + a_{n+1}}{2} \Delta t$$

```
for i in range (0,n):  
  
    [ax, ay, az] = a(x, y,z)  
  
    x_next = x + vx * dt  
    y_next = y + vy * dt  
    z_next = z + vz * dt  
  
    vx_next = vx + ax * dt  
    vy_next = vy + ay * dt  
    vz_next = vz + az * dt
```

```
for i in range (0,n):  
  
    [ax, ay, az] = a(x, y, z)  
  
    vx_next = vx + ax * dt  
    vy_next = vy + ay * dt  
    vz_next = vz + az * dt  
  
    x_next = x + vx_next * dt  
    y_next = y + vy_next * dt  
    z_next = z + vz_next * dt
```

```
for i in range (0,n):  
  
    [ax, ay, az] = a(x, y, z)  
    x_next= x + vx * dt + 0.5 * ax * dt ** 2  
    y_next= y + vy * dt + 0.5 * ay * dt ** 2  
    z_next= z + vz * dt + 0.5 * az * dt ** 2  
  
    [ax_next, ay_next, az_next] = a(x_next, y_next, z_next)  
    vx_next = vx + 0.5 * ( ax + ax_next ) * dt  
    vy_next = vy + 0.5 * ( ay + ay_next ) * dt  
    vz_next = vz + 0.5 * ( az + az_next ) * dt
```

Órbita de Júpiter

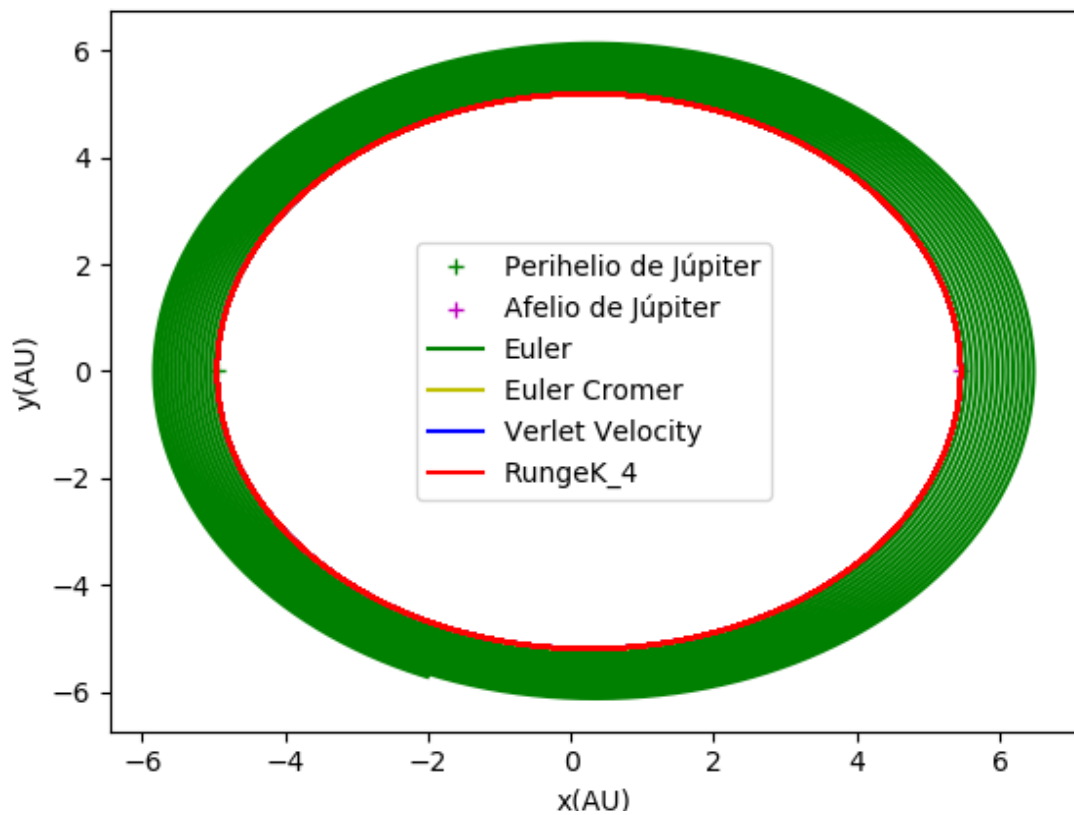


Figura 11: Comparación de la órbita de Júpiter al cabo de 200 años para los distintos métodos de integración.

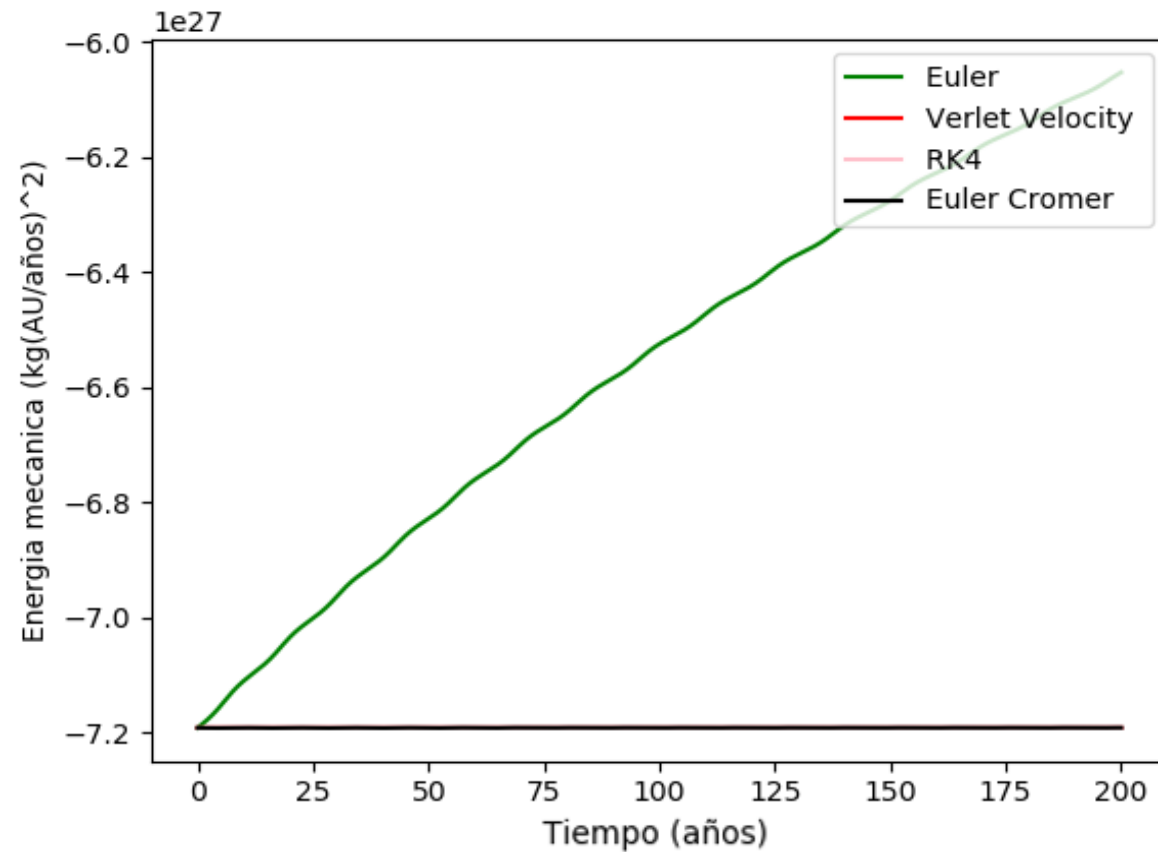


Figura 12: Comparación de la energía mecánica de Júpiter en su órbita con los distintos métodos de integración.

Órbita de Júpiter

Método	Tiempo computacional (s)	Desviación del afelio (UA)
Euler	0.693	No procede
Euler Cromer	0.825	4e-07
Velocidad Verlet	1.129	2e-07
Runge-Kutta 4	1.521	2e-07

Tabla 2: Comparación entre los métodos de integración al realizar el cálculo de la trayectoria y su desviación del afelio al cabo de $T=200$ años

La desviación es menor que el radio de Júpiter (69.911km) → necesitamos hacerlo con un cuerpo mas pequeños

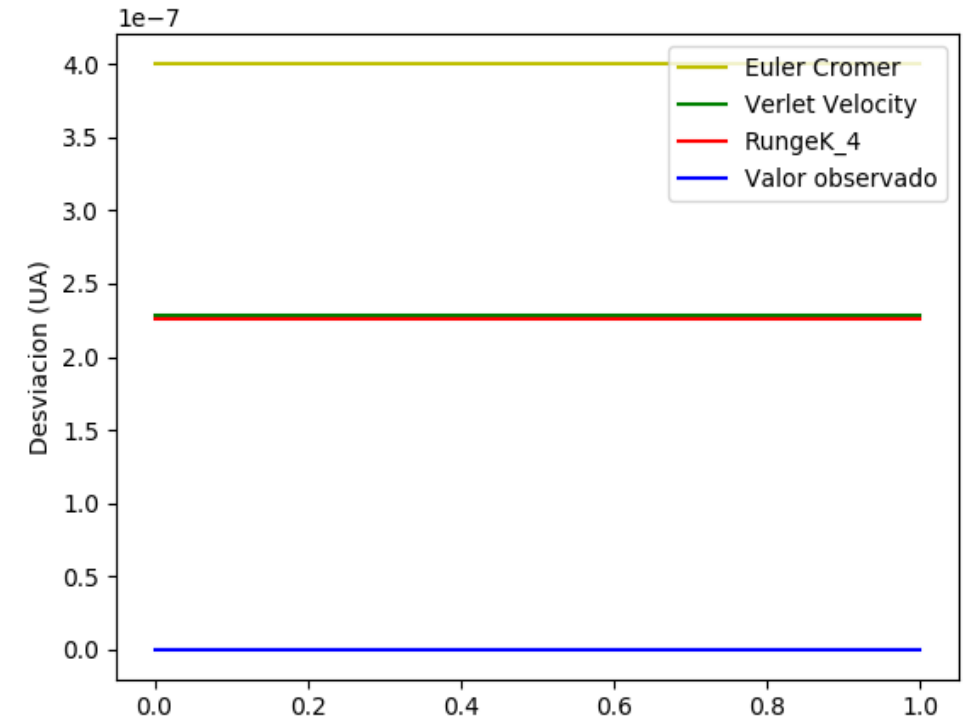


Figura 13: Comparación de los métodos al pasar cerca del afelio de Júpiter.

Período obtenido con el método de Verlet: $T_{\text{experimental}} = 11.8878 \pm 0.0005$ años $T_{\text{bibliografico}} = 11.872 \pm 0.003$ años

Órbita de Juno

Método	Tiempo computacional(s)	Desviación del afelio (UA)
Euler Cromer	32.421	0.006
Velocidad Verlet	37.508	0.006
Rungekutta4	65.548	0.006

Tabla 3: Comparación de los métodos de integración al realizar el cálculo de la trayectoria de Júpiter y Juno, así como la desviación del afelio de Juno al cabo de 2000 años terrestres

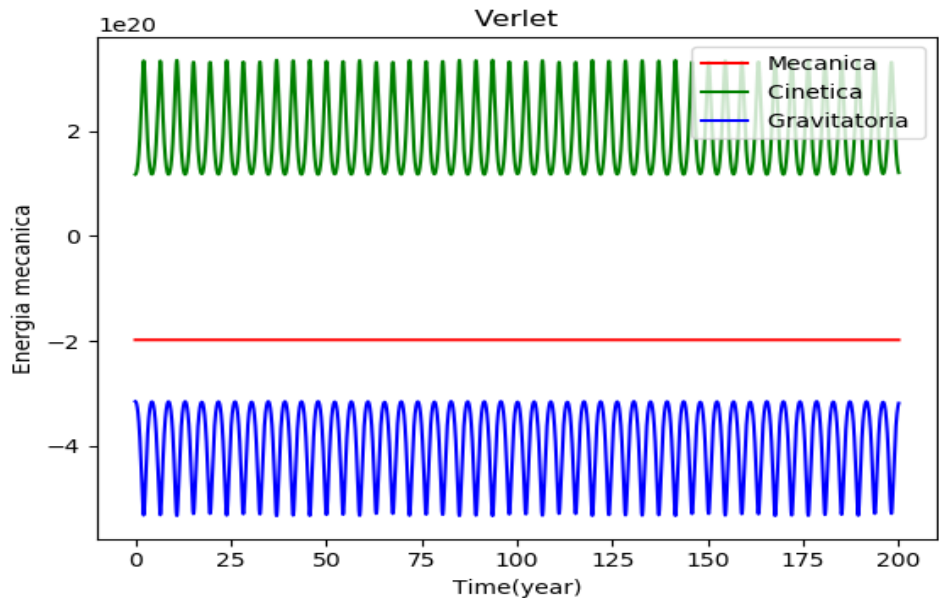


Figura 17: Representación de las energías de Juno con el método de Verlet..

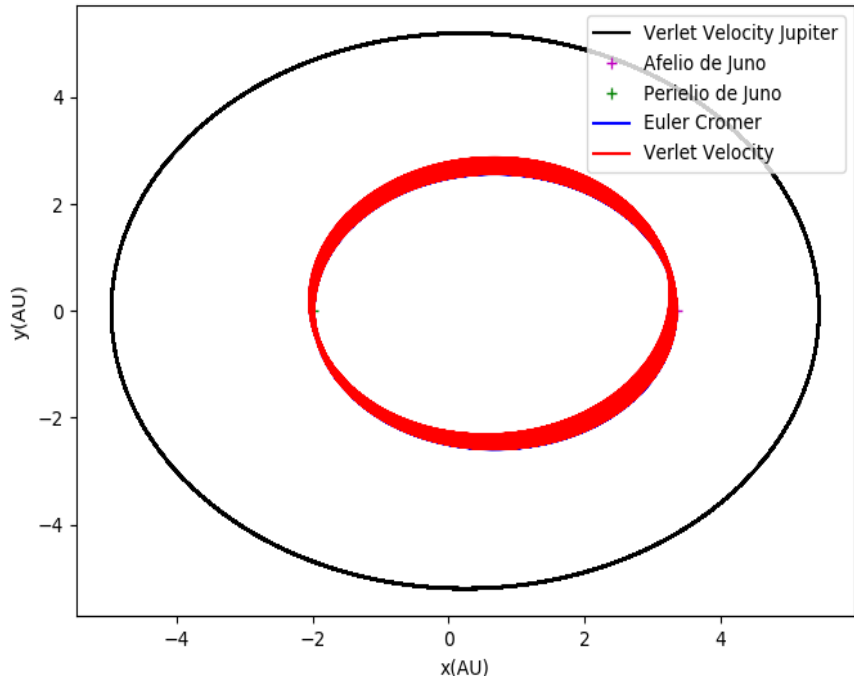


Figura 15: Trayectoria de Júpiter y del asteroide Juno con Verlet y Euler Cromer con $T=2000$ años terrestres

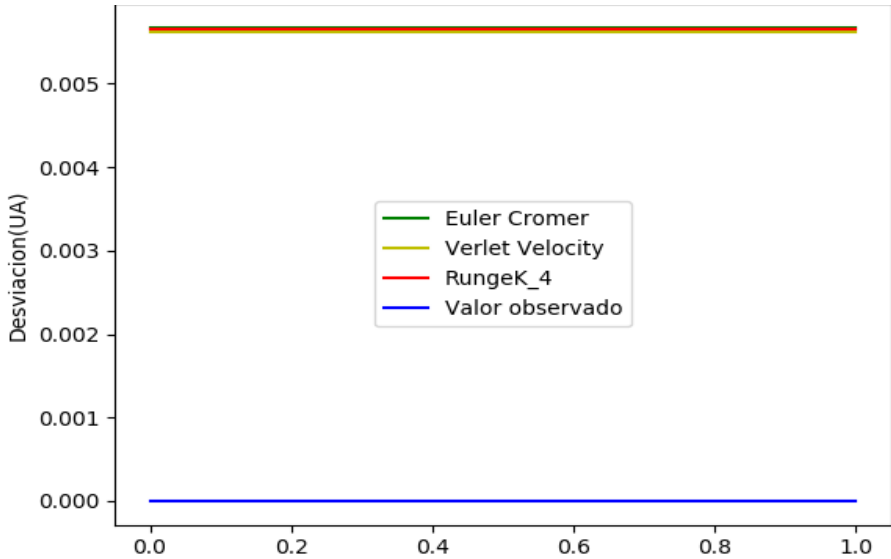


Figura 16: Desviación de los distintos métodos al pasar cerca del afelio de Juno con $T=2000$ años terrestres

Estudio Zanjas de Kirkwood

Circular

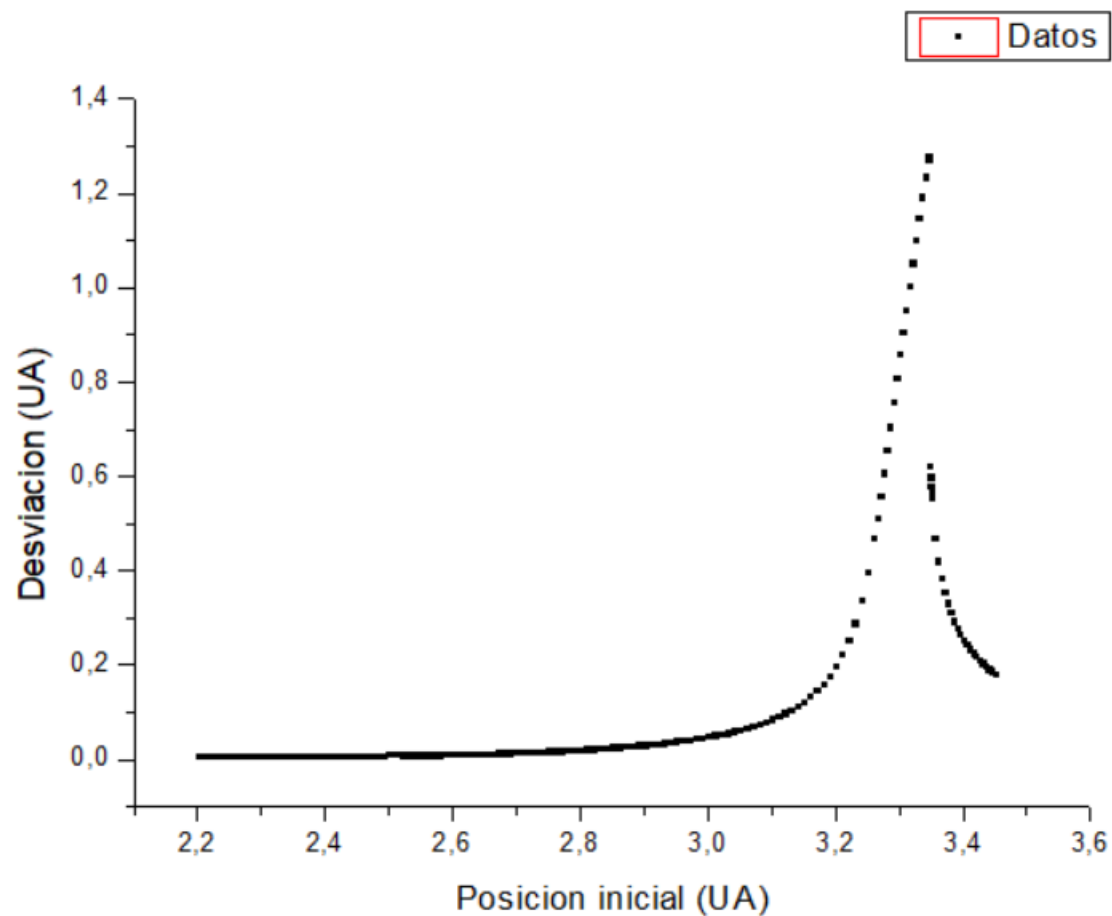


Figura 19: Desviación de un asteroide en función de su posición inicial respecto al Sol al cabo de 1000 años asumiendo órbita de Júpiter circular

Elíptico

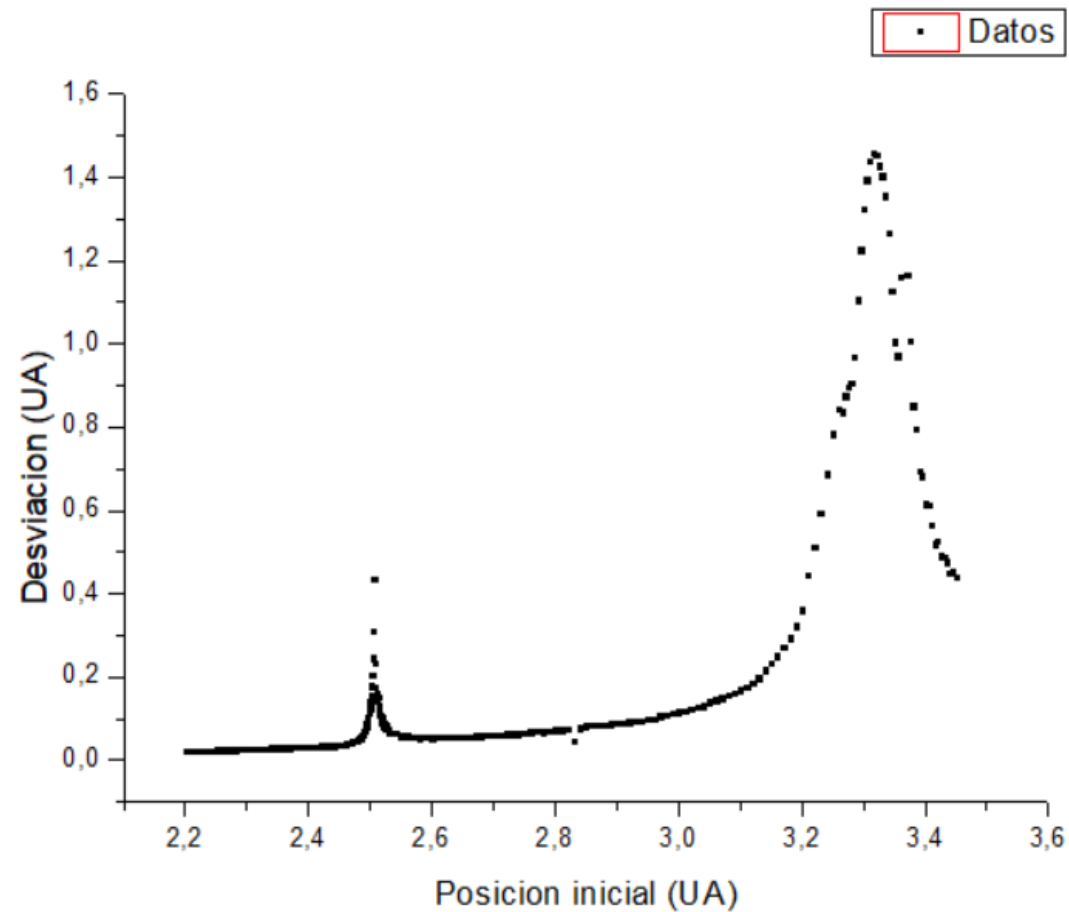


Figura 20: Desviación de un asteroide en función de su posición inicial respecto al Sol al cabo de 1000 años asumiendo órbita de Júpiter elíptica

Comportamiento en las proximidades de las Zanjas de Kirkwood

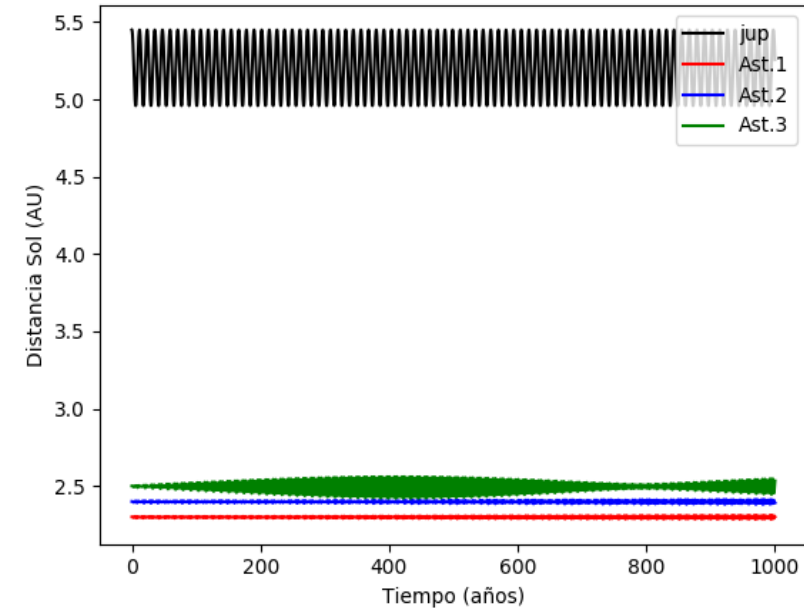
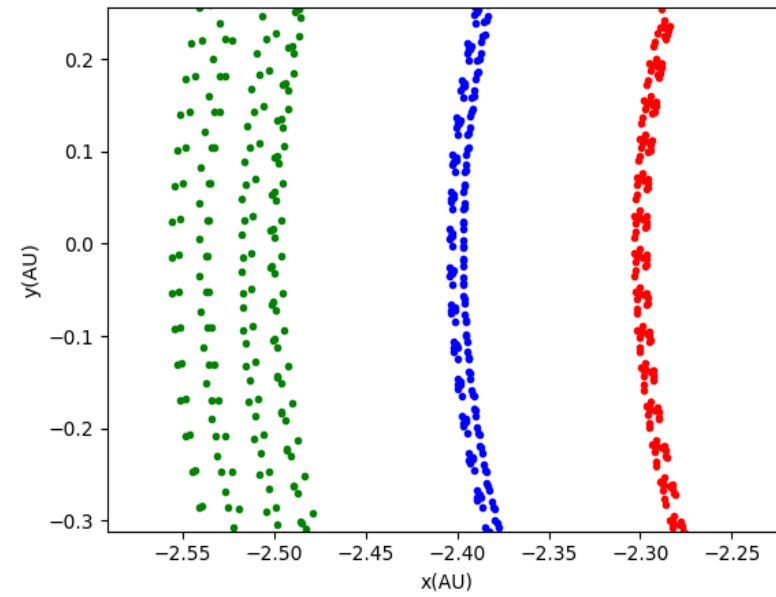
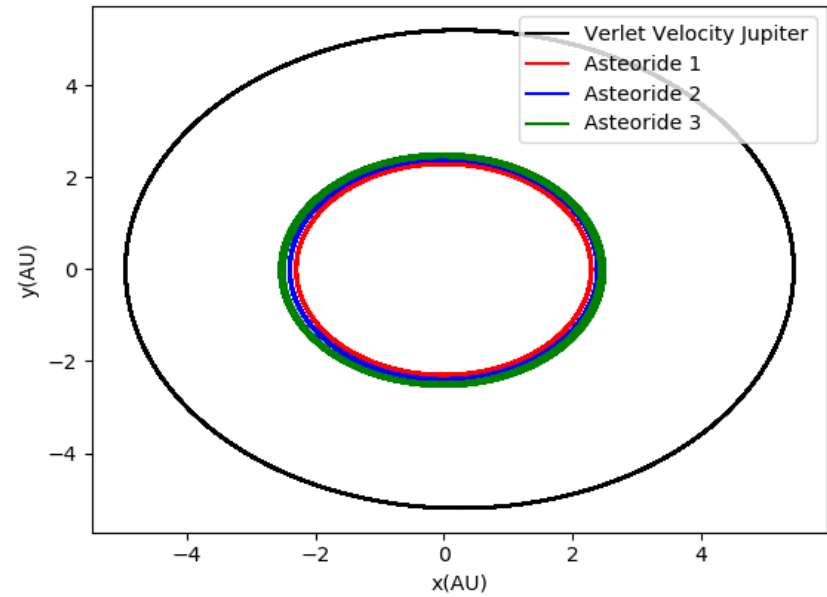
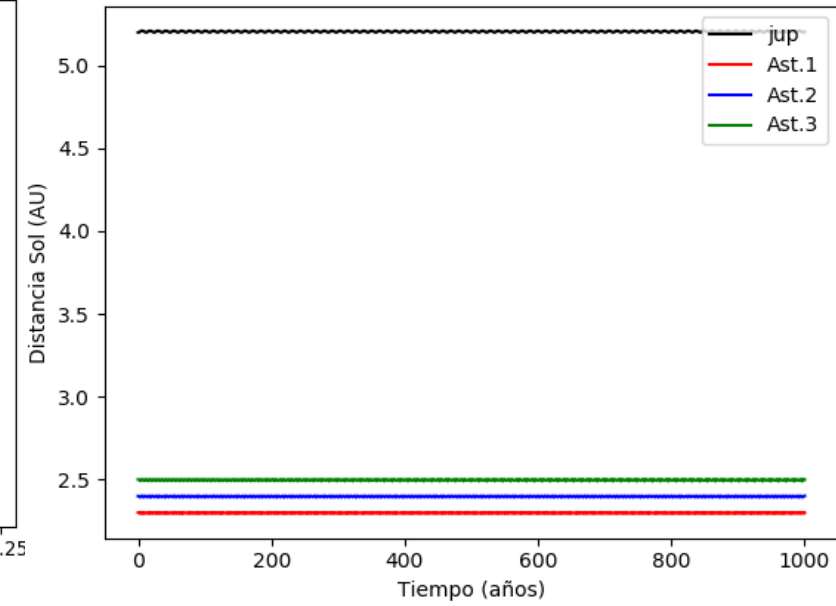
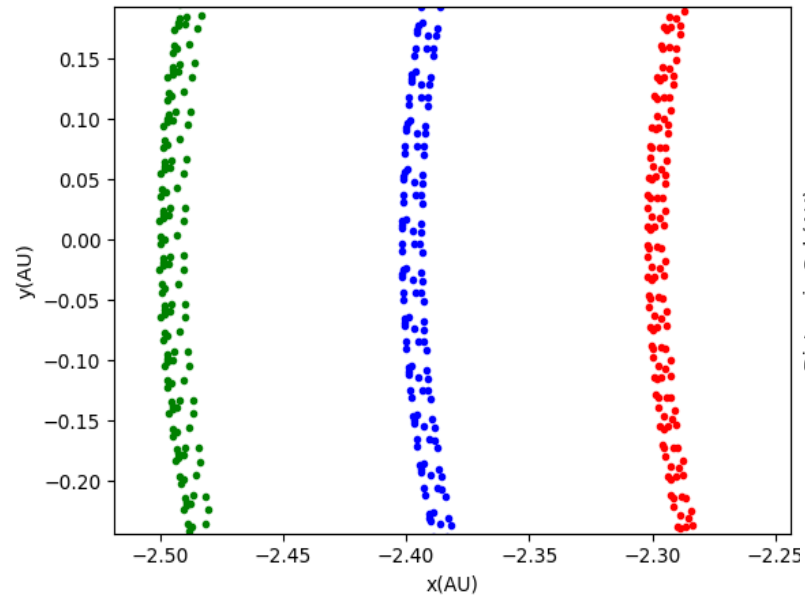
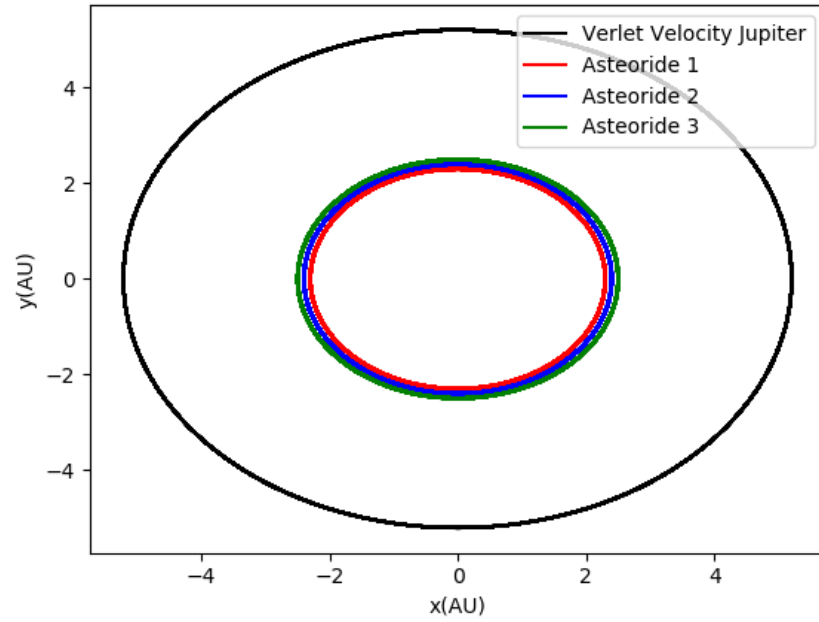
Cuerpo celeste	Distancia (AU)	Velocidad inicial (AU/año)
Asteroide 1	3.000	3.628
Asteroide 2	3.276	3.471
Asteroide 3	3.600	3.312

Tabla 4: Posiciones iniciales y velocidades usadas para tres asteroides hipotéticos en la vecindad de la zanja de Kirkwood con resonancia 2/1

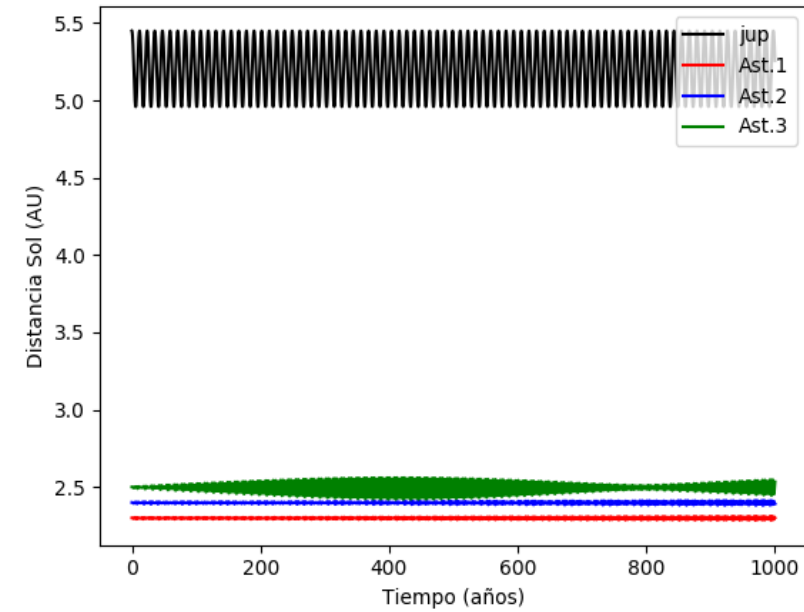
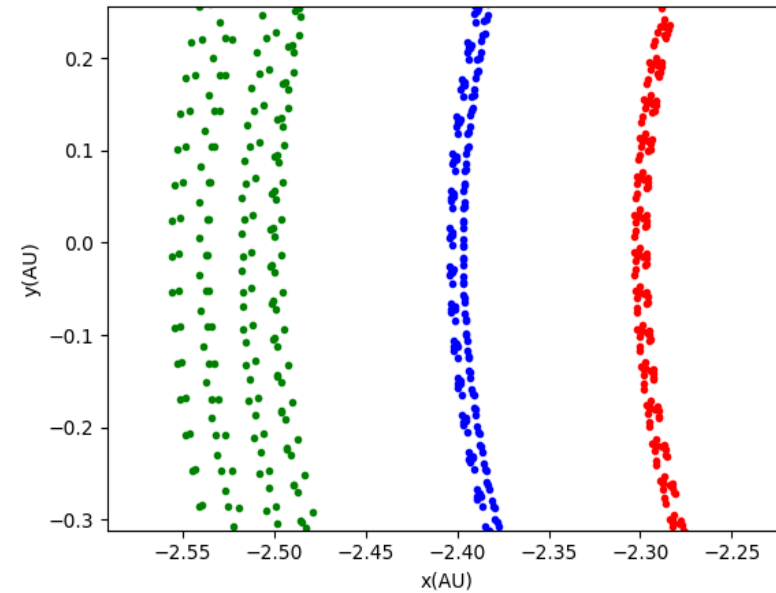
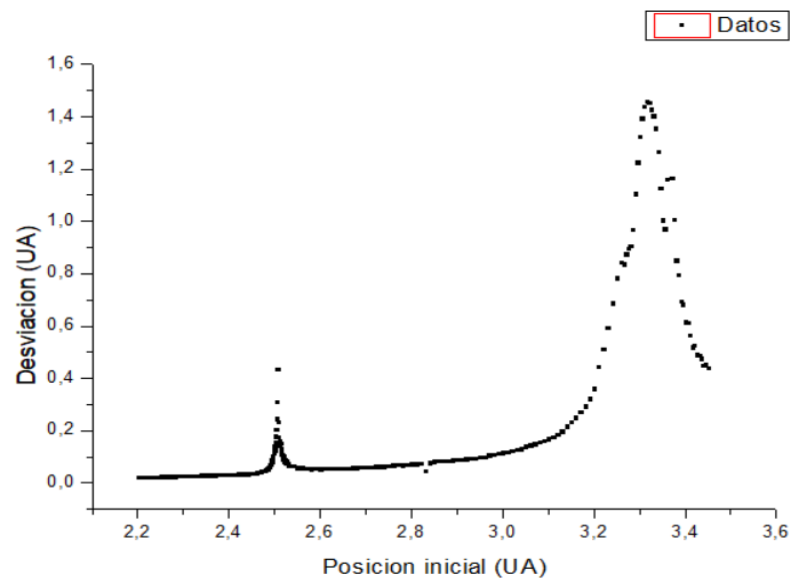
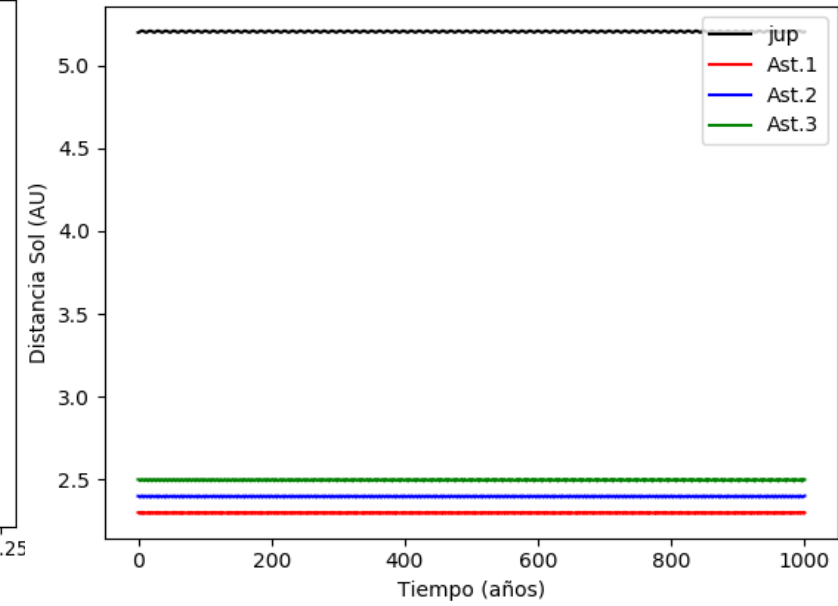
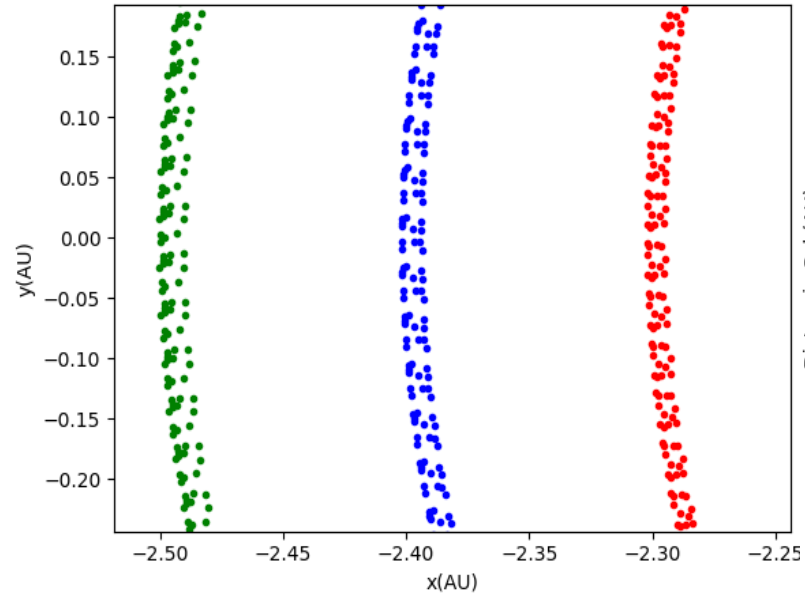
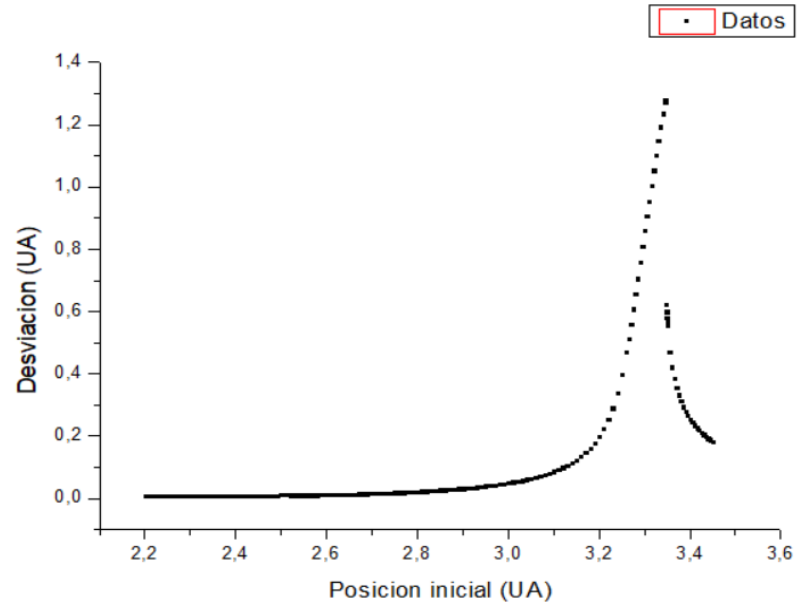
Cuerpo celeste	Distancia (AU)	Velocidad inicial (AU/año)
Asteroide 1	3.000	3.628
Asteroide 2	3.276	3.471
Asteroide 3	3.600	3.312

Tabla 5: Posiciones iniciales y velocidades usadas para tres asteroides hipotéticos en la vecindad de la Zanja de Kirkwood con resonancia 3/1

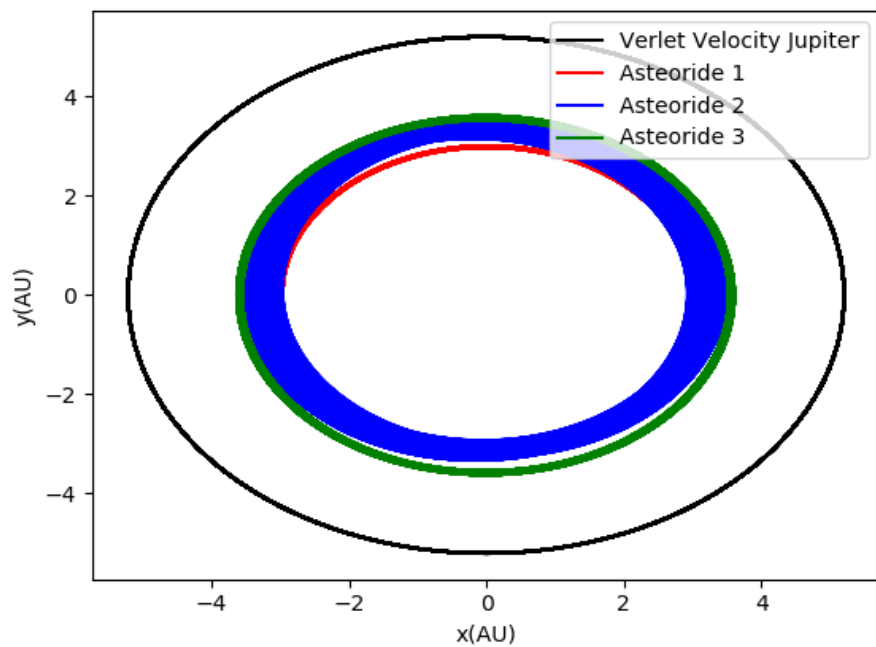
Zanja 3/1



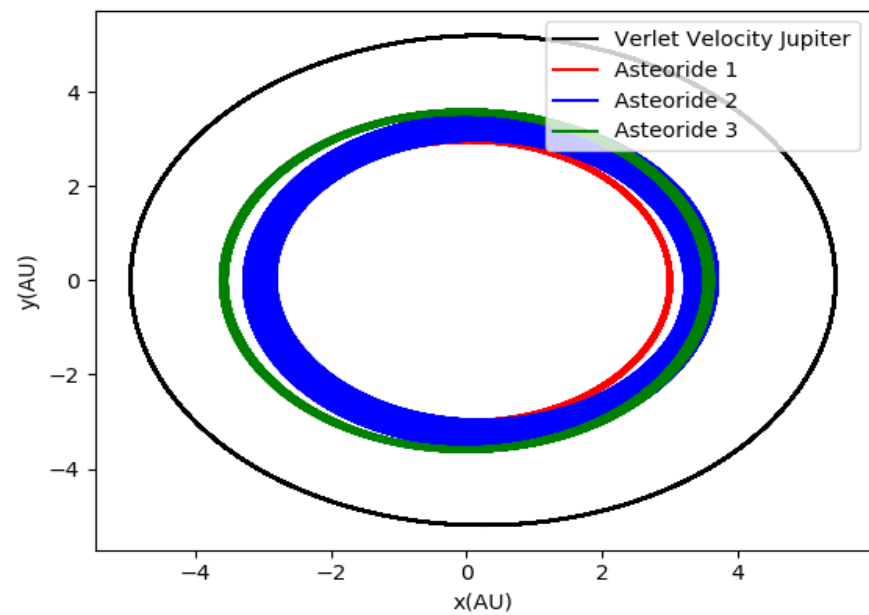
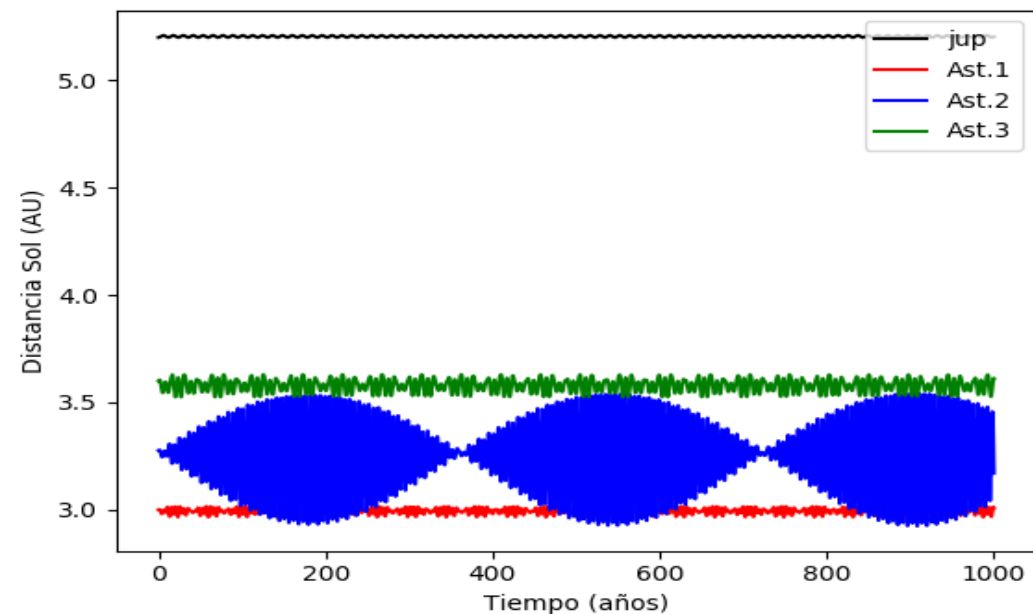
Zanja 3/1



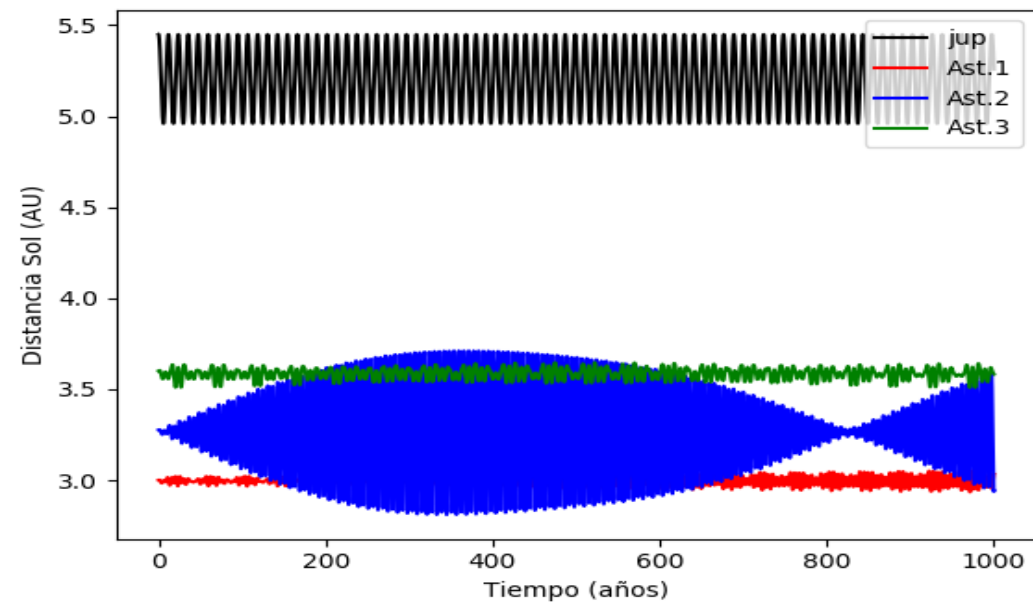
Zanja 2/1



Circular



Elíptico



Anchura de las Zanas

Zanja 3/1

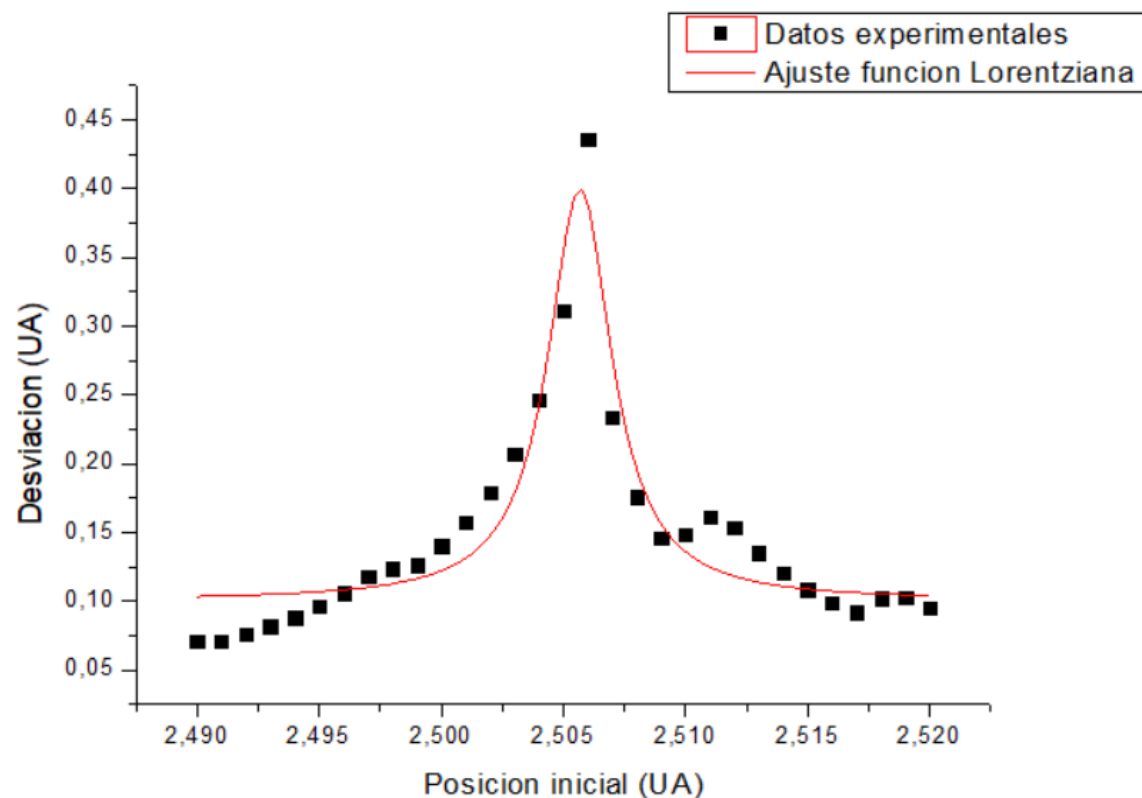


Figura 31: Desviación de un asteroide (en resonancia 3:1 con Júpiter) en función de su posición inicial respecto al Sol, $T=1000$ años. Los datos han sido ajustados a una Lorentziana

Centro de la lorentziana = 2.5056 ± 0.0001 UA

Anchura = 0.0032 ± 0.0004 UA

Proximidades: 2.5040 y 2.5072 UA.

Zanja 2/1

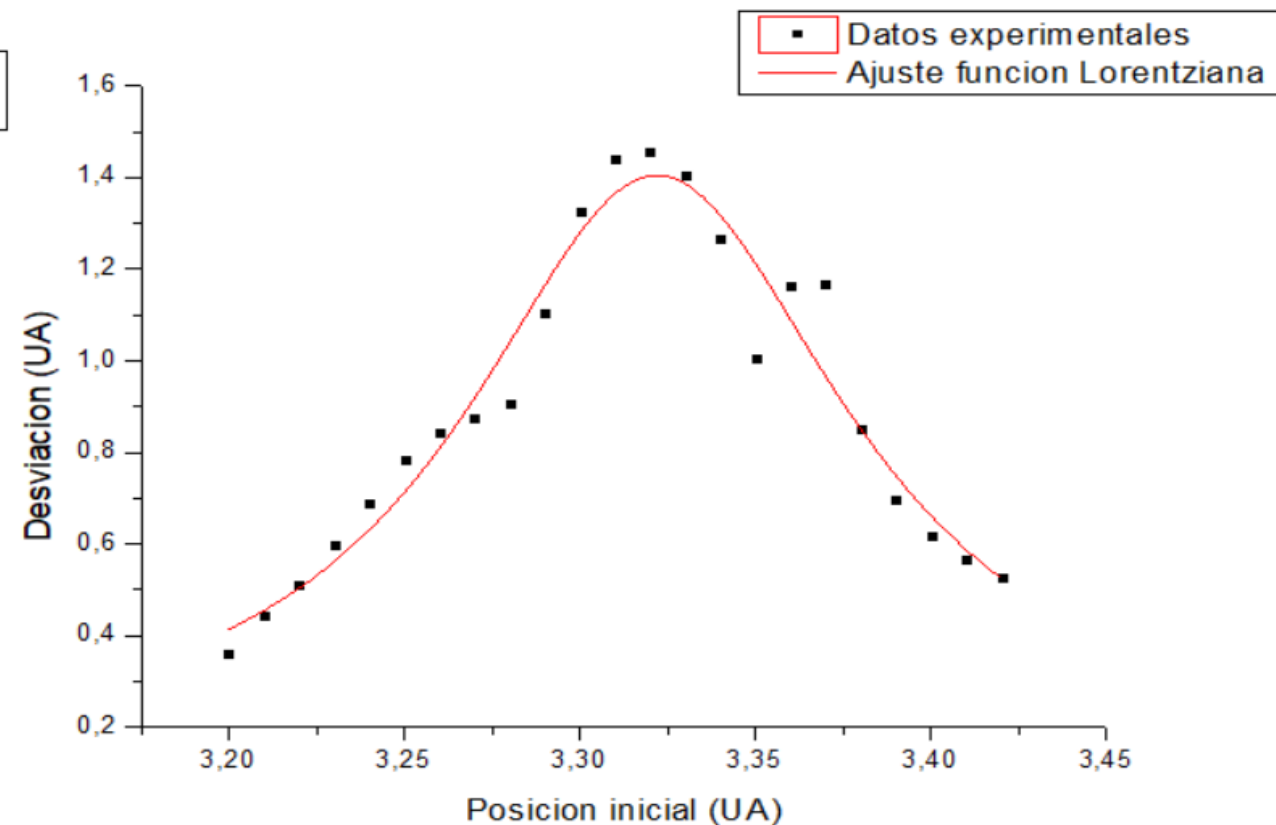


Figura 32: Desviación de un asteroide (en resonancia 2:1 con Júpiter) en función de su posición inicial respecto al Sol, $T=1000$ años. Los datos han sido ajustados a una Lorentziana

Centro de la lorentziana = 3.322 ± 0.002 UA

Anchura = 0.13 ± 0.01 UA

Proximidades: 3.25 y 3.39 UA.

Influencia de Marte

- Tiempo = 100 000 años
- Masa Marte = $6.41 \cdot 10^{23}$ kg
- Masa del Sol = $1,98 \cdot 10^{30}$ kg
- Masa de Júpiter = $1,89 \cdot 10^{27}$ kg
- Semieje mayor = 1,52 UA

$$F_{Gx} = -\frac{G \cdot M_S \cdot M_a}{r_{aS}^2} \cdot x - \frac{G \cdot M_J \cdot M_a}{r_{aJ}^3} \cdot (x_a - x_J) - \frac{G \cdot M_M \cdot M_a}{r_{aM}^3} \cdot (x_a - x_M)$$

$$F_{Gy} = -\frac{G \cdot M_S \cdot M_a}{r_{aS}^2} \cdot y - \frac{G \cdot M_J \cdot M_a}{r_{aJ}^3} \cdot (y_a - y_J) - \frac{G \cdot M_M \cdot M_a}{r_{aM}^3} \cdot (y_a - y_M)$$

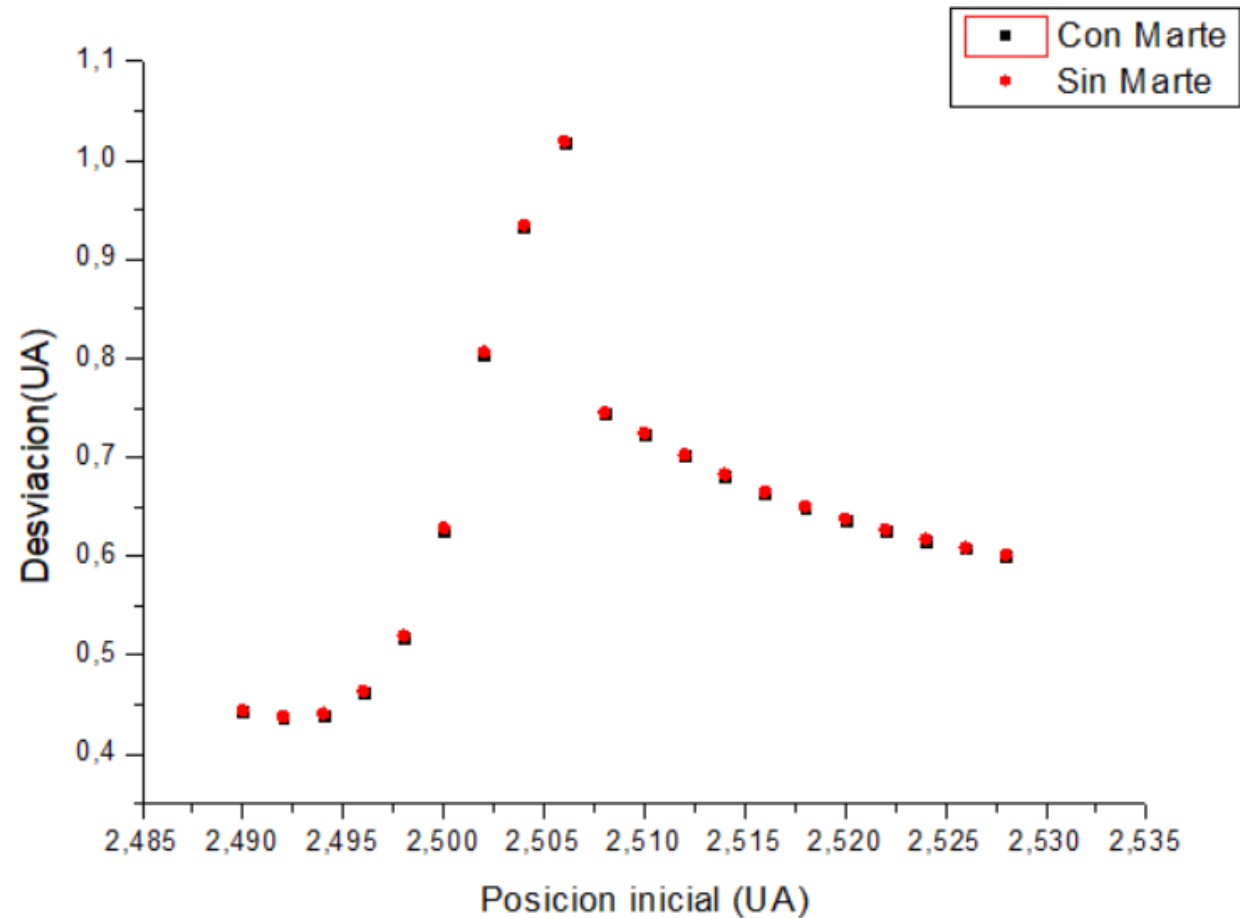


Figura 33: Comparación de la desviación de un asteroide en función de su posición inicial respecto al Sol al cabo de 100 000 años con la presencia de Marte y sin la presencia de Marte.

Influencia de Saturno

- Tiempo = 100 000 años
- Masa Saturno = $5.98 \cdot 10^{26}$ kg
- Masa del Sol = $1,98 \cdot 10^{30}$ kg
- Masa de Júpiter = $1,89 \cdot 10^{27}$ kg
- Semieje mayor = 9,58 UA

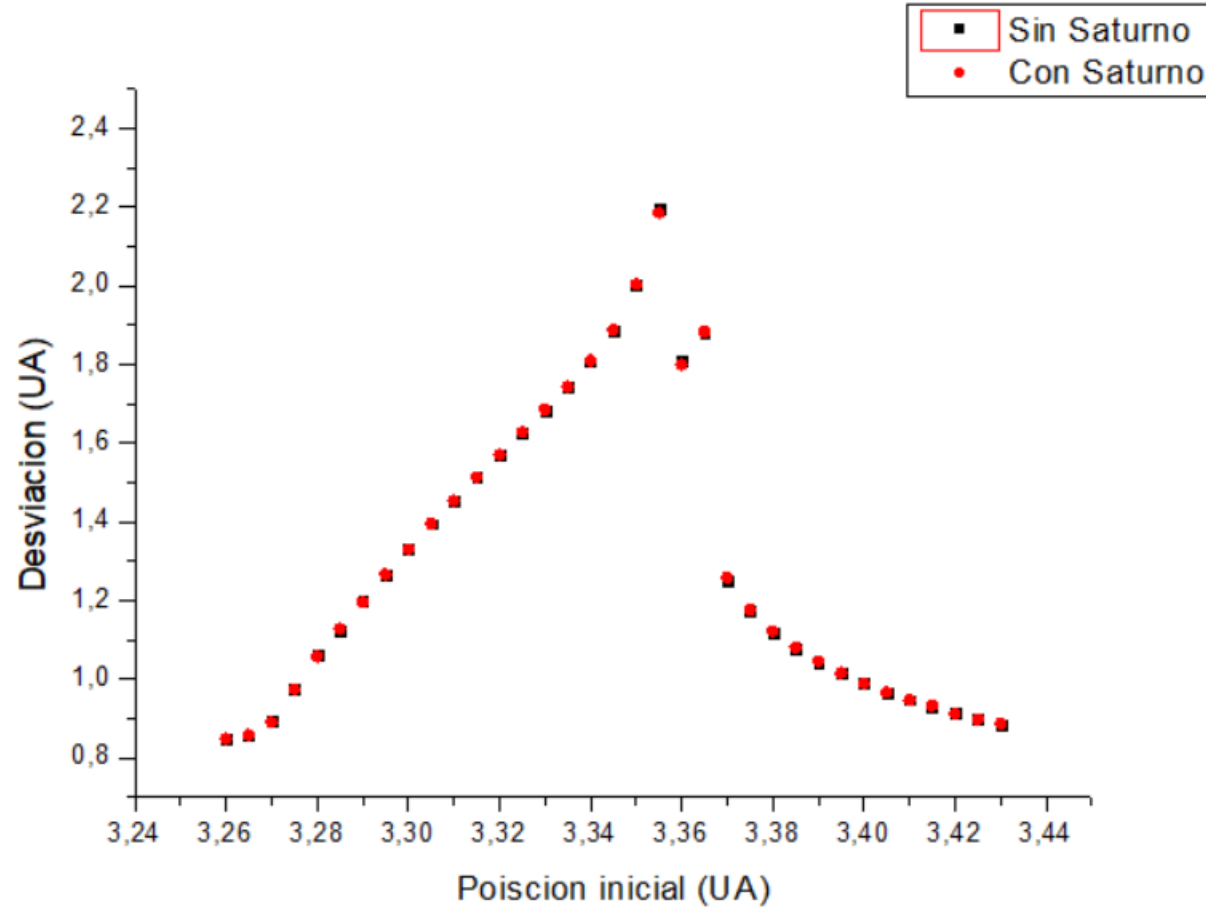


Figura 34: Comparación de la desviación de un asteroide en función de su posición inicial respecto del Sol al cabo de 100 000 años con la presencia de Saturno y sin la presencia de Saturno

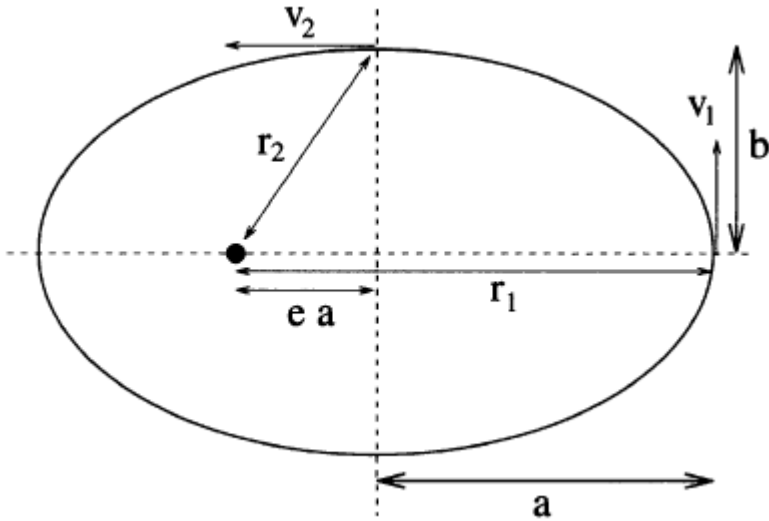
Conclusiones

- Existen unas regiones entre Marte y Júpiter en las cuales los asteroides exhiben un comportamiento inusual.
- Con el código y el método desarrollado ha sido posible determinar la anchura aproximada de las Zanjass
- De los métodos estudiados el método de Velocidad Verlet es el más adecuado para el cálculo de órbitas.
- Órbitas elípticas → Más Zanjass de Kirkwood
- La influencia de Marte y Saturno en los asteroides que se encuentran en las Zanjass de Kirkwood es despreciable.



Gracias por su
atención

Órbitas elípticas



Bajo la acción de fuerza conservativa → Conservación de la energía mecánica y momento angular

$$\frac{1}{2} M_p v_1^2 - \frac{GM_s M_p}{r_1} = -\frac{GM_s M_p}{r_2} + \frac{1}{2} M_p v_2^2$$

$$M_p v_1 r_1 = M_p v_2 r_2$$

Figura 3: Órbita elíptica alrededor del Sol.

$$V_{max} = \sqrt{\frac{GM(1+e) \cdot (1 + \frac{M_{jup}}{M_{sun}})}{a(1-e)}}$$

$$V_{min} = \sqrt{\frac{GM(1-e) \cdot (1 + \frac{M_{jup}}{M_{sun}})}{a(1+e)}}$$

Runge-Kutta 4

Para hallar la posición y la velocidad hay que calcular los siguientes coeficientes primero

$$x_{n+1} = x_n + \frac{\Delta t}{6} (k_1 + 2k_2 + 2k_3 + k_4)$$

Donde:

$$k_1 = f(t_n, v_n)$$

$$k_2 = f\left(t_n + \frac{\Delta t}{2}, v_n + \frac{\Delta t}{2} k_1\right)$$

$$k_3 = f\left(t_n + \frac{\Delta t}{2}, v_n + \frac{\Delta t}{2} k_2\right)$$

$$k_4 = f(t_n + \Delta t, v_n + \Delta t k_3)$$

```
134 def RungeK_42(a,r0,v0,dt,tend,x_jup_RK4, y_jup_RK4 ,z_jup_RK4):
135
136     #Creamos vectores de las posiciones, tiempo y velocidades
137
138     x_vector = []
139     y_vector = []
140     z_vector = []
141
142     t_vector = []
143
144     vx_vector = []
145     vy_vector = []
146     vz_vector = []
147
148     #Condiciones iniciales
149
150     x = r0[0]
151     y = r0[1]
152     z = r0[2]
153     t=0 #Tiempo a partir del cual empezamos a contar
154     vx = v0[0]
155     vy = v0[1]
156     vz = v0[2]
157
158     #Decimos que el primer elemento de nuestros vectores sea:
159
160     x_vector.append(x)
161     y_vector.append(y)
162     z_vector.append(z)
163
164     vx_vector.append(vx)
165     vy_vector.append(vy)
166     vz_vector.append(vz)
167
168     t_vector.append(t)
169
170     n=int(tend/dt) #Numero de elementos que contendran nuestros vectores
```

```

172     for i in range (0,n):
173
174         #Las k de las velocidades que las denotaremos como k1vx,k1vy,k1vz
175         #Las k para las posiciones las denotaremos como k1x, k1y,k1z
176
177         #Ecuaciones Rungekutta4
178
179         [k1vx, k1vy, k1vz] = a(x, y, z,x_jup_RK4[i], y_jup_RK4[i] ,z_jup_RK4[i])
180
181         k1x = vx
182         k1y = vy
183         k1z = vz
184
185         [k2vx, k2vy, k2vz] = a(x + k1x * (dt / 2), y + k1y * (dt / 2), z + k1z * (dt / 2),x_jup_RK4[i], y_jup_RK4[i] ,z_jup_RK4[i])
186
187         k2x = vx + k1vx * (dt / 2)
188         k2y = vy + k1vy * (dt / 2)
189         k2z = vz + k1vz * (dt / 2)
190
191         [k3vx, k3vy, k3vz] = a(x + k2x * (dt / 2), y + k2y * (dt / 2), z + k2z * (dt / 2),x_jup_RK4[i], y_jup_RK4[i] ,z_jup_RK4[i])
192
193         k3x = vx + k2vx * (dt / 2)
194         k3y = vy + k2vy * (dt / 2)
195         k3z = vz + k2vz * (dt / 2)
196
197         [k4vx, k4vy, k4vz] = a(x + k3x * dt, y + k3y * dt, z + k3z * dt,x_jup_RK4[i], y_jup_RK4[i] ,z_jup_RK4[i])
198
199         k4x = vx + k3vx * dt
200         k4y = vy + k3vy * dt
201         k4z = vz + k3vz * dt
202
203         #Finalmente obtenemos las velocidades y posiciones siguientes
204
205         vx_next = vx + (dt / 6) * (k1vx + 2 * k2vx + 2 * k3vx + k4vx)
206         vy_next = vy + (dt / 6) * (k1vy + 2 * k2vy + 2 * k3vy + k4vy)
207         vz_next = vz + (dt / 6) * (k1vz + 2 * k2vz + 2 * k3vz + k4vz)
208
209         x_next = x + (dt / 6) * (k1x + 2 * k2x + 2 * k3x + k4x)
210         y_next = y + (dt / 6) * (k1y + 2 * k2y + 2 * k3y + k4y)
211         z_next = z + (dt / 6) * (k1z + 2 * k2z + 2 * k3z + k4z)

```

```

214     x_vector.append(x_next)           # Guardamos los valores en nuestros vectores
215     y_vector.append(y_next)
216     z_vector.append(z_next)
217
218     vx_vector.append(vx_next)
219     vy_vector.append(vy_next)
220     vz_vector.append(vz_next)
221
222     t_next = t + dt
223
224     t_vector.append(t_next)
225
226     x = x_next                       # Actualizamos los valores para realizar de nuevo el bucle
227     y = y_next
228     z = z_next
229
230     t = t_next
231
232     vx = vx_next
233     vy = vy_next
234     vz = vz_next
235
236     return t_vector,x_vector, y_vector, z_vector, vx_vector, vy_vector, vz_vector

```

Comparación de los métodos

```
start1=timer()
t_jup_E, x_jup_E, y_jup_E, z_jup_E, vx_jup_E, vy_jup_E, vz_jup_E = Euler (grav_sun , r0_jup, v0_jup, deltat,tend)
end1=timer()
start2=timer()
t_jup_EC, x_jup_EC, y_jup_EC, z_jup_EC, vx_jup_EC, vy_jup_EC, vz_jup_EC = Euler_Cromer (grav_sun , r0_jup, v0_jup, deltat,tend)
end2=timer()
start3=timer()
t_jup_V, x_jup_V, y_jup_V, z_jup_V, vx_jup_V, vy_jup_V, vz_jup_V = Verlet (grav_sun , r0_jup, v0_jup, deltat,tend)
end3=timer()
start4=timer()
t_jup_RK4, x_jup_RK4, y_jup_RK4, z_jup_RK4, vx_jup_RK4, vy_jup_RK4, vz_jup_RK4 = RungeK_4 (grav_sun , r0_jup, v0_jup, deltat,tend)
end4=timer()
```

```
for i in range(n): #No importan las unidades, queremos ver si varia
    v[i] =sqrt( vx[i] ** 2 + vy[i] ** 2 + vz[i] ** 2)
    Energia_cinet[i]= 0.5*v[i] ** 2 * Mplaneta1
    r[i] =sqrt( x[i] ** 2 + y[i] ** 2 + z[i] ** 2)
    Energia_grav[i] = - 4*pi**2*Mplaneta1/ r[i]
    Energia_mec[i]= Energia_grav[i] + Energia_cinet[i]
```

```
if fabs(x_jup_V[i]-x_jup_V[0])<tol:
    T1_jup=T2_jup
    T2_jup = deltat * i
    T_jup1 =T2_jup-T1_jup
    T_jup.append(T_jup1)
    x_afel.append(fabs(x_jup_V[i]-x_jup_V[0]))
```


Cálculo Afelio

```
if r_afel[i]>r_afel[i-1] and r_afel[i]>r_afel[i+1]:  
    rmaxV.append(r_afel[i])
```

Figura 14: Calculo del afelio de Juno

```
95 %%% Comparacion de Los metodos en el afelio  
96  
97 n=int(tend/deltat)  
98  
99 #Convertimos en vectores Las Listas de Verlet  
100 x1=np.array(x_ast1_V,float)  
101 y1=np.array(y_ast1_V,float)  
102 r_afel=(x1**2+y1**2)**(1/2)  
103  
104 #Convertimos en vectores Las Listas de Euler Cromer  
105 x2=np.array(x_ast1_EC,float)  
106 y2=np.array(y_ast1_EC,float)  
107 r_afel2=(x2**2+y2**2)**(1/2)  
108 #Convertimos en vectores Las Listas de RK4  
109 x3=np.array(x_ast1_RK4,float)  
110 y3=np.array(y_ast1_RK4,float)  
111 r_afel3=(x3**2+y3**2)**(1/2)  
112  
113 #Hacemos el bucle para hallar el afelio  
114 rmaxV=[]  
115 rmaxEC=[]  
116 rmaxRK4=[]  
117  
118 for i in range(0,n):  
119     if r_afel[i]>r_afel[i-1] and r_afel[i]>r_afel[i+1]:  
120         rmaxV.append(r_afel[i])  
121     if r_afel2[i]>r_afel2[i-1] and r_afel2[i]>r_afel2[i+1]:  
122         rmaxEC.append(r_afel2[i])  
123     if r_afel3[i]>r_afel3[i-1] and r_afel3[i]>r_afel3[i+1]:  
124         rmaxRK4.append(r_afel3[i])  
125  
126 #Los convertimos en vectores para poder aplicar las funciones mean y stdev  
127 rV=np.array(rmaxV,float)  
128 rEC=np.array(rmaxEC,float)  
129 rRK4=np.array(rmaxRK4,float)  
130  
131 #Calculamos las desviaciones  
132 print('La media con Verlet es=',rV.mean())  
133 print('La desviacion respecto al valor real',stats.stdev(rV))  
134 print('La media con Euler Cromer es=',rEC.mean())  
135 print('La desviacion respecto al valor real',stats.stdev(rEC))  
136  
137 print('La media con RK4 es=',rRK4.mean())  
138 print('La desviacion respecto al valor real',stats.stdev(rRK4))
```

```
141 #Pintamos los valores en una recta  
142  
143 a=[stats.stdev(rV),stats.stdev(rV)]  
144 b=[stats.stdev(rEC),stats.stdev(rEC)]  
145 c=[stats.stdev(rRK4),stats.stdev(rRK4)]  
146  
147 d=[0,1]  
148 figure(2)  
149 plt.plot(d,b,'g', label='Euler Cromer ')  
150 plt.plot(d,a,'y', label='Verlet Velocity')  
151 plt.plot(d,c,'r', label='RungeK_4')  
152 plt.ylabel('Desviacion(UA)')  
153 plt.plot(d,[0,0],'b',label='Valor observado')  
154  
155 plt.legend(loc='center')  
156 show()
```

Estudio Zanjias de Kirkwood

```
for radius in np.arange(2.2,3.45,0.001):  
  
    V_i = sqrt(4 * pi ** 2 / (radius))  
  
    Init_pos = [radius, 0, 0]  
    V_init = [0, V_i, 0]  
  
    t_ast, x_ast, y_ast, z_ast, vx_ast, vy_ast, vz_ast =\  
    Verlet2 (grav_sun_Jupiter , Init_pos , V_init, deltat,tend,x_jup , y_jup , z_jup )  
  
    x_ast = np.array(x_ast,float)  
    y_ast = np.array(y_ast,float)  
    r_ast = ( x_ast**2 + y_ast**2 ) ** (1/2)  
    desviacion=abs(max(r_ast)-min(r_ast))
```

Inclinación → plano de la eclíptica

- Tierra: 0°
- Marte: $1,85^{\circ}$
- Júpiter: $1,30^{\circ}$
- Saturno $2,48^{\circ}$